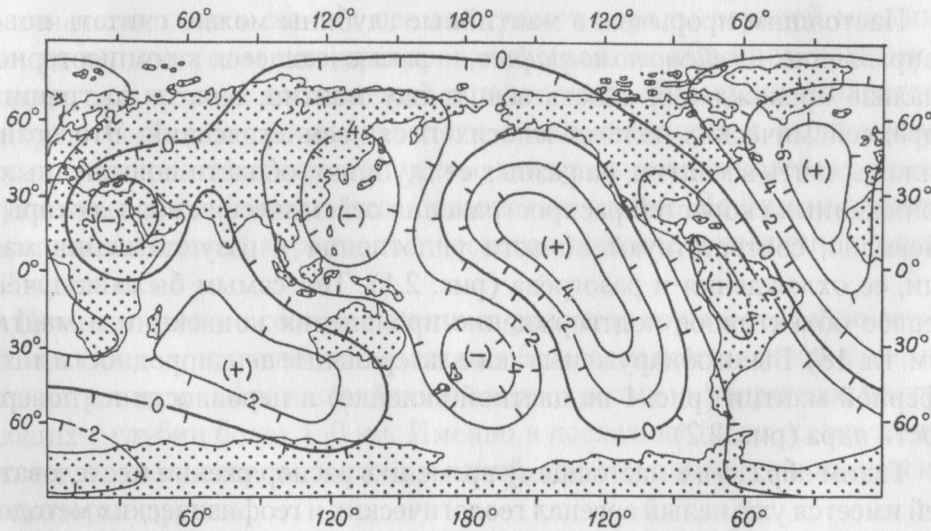
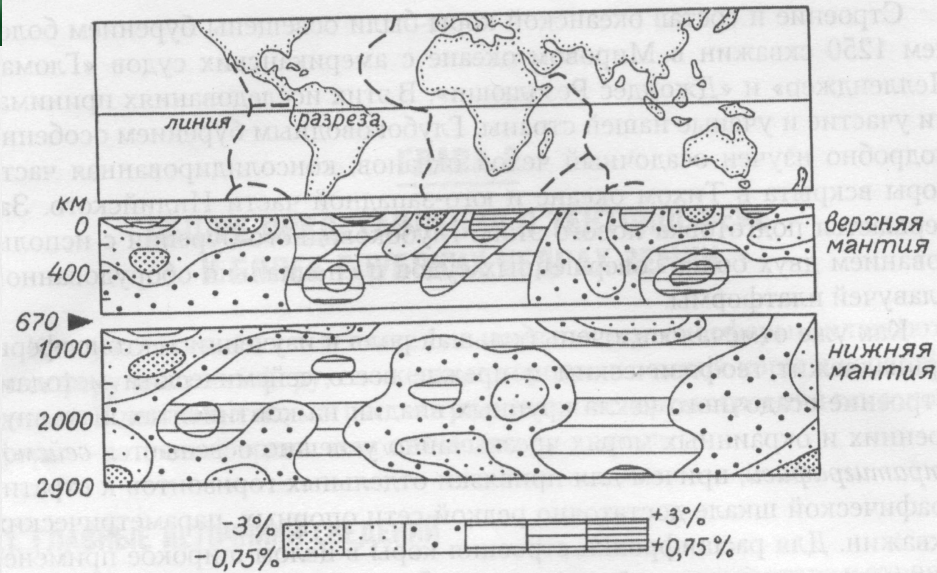


Рельеф поверхности ядра Земли, по данным сейсмической томографии
 (А. Морелли, А. Дзевонский, 1987).
 Изолинии проведены через 2 км

Рис. 2.59. Неровности кровли ядра, [34]



Рельеф поверхности ядра Земли, по данным сейсмической томографии (А. Морелли, А. Дзевонский, 1987).
Изолинии проведены через 2 км



Разрез мантии Земли вдоль линии экватора, по данным сейсмической томографии (Дж. Вудхауз, А. Дзевонский, 1984).
Аномалии скоростей сейсмических волн — в процентах от «нормальных» значений, нарастающих с глубиной.
На шкале верхние цифры для поперечных волн, нижние — для продольных

Рис. 2.60. Рельеф поверхности ядра и сейсмотомографический разрез мантии, [34]

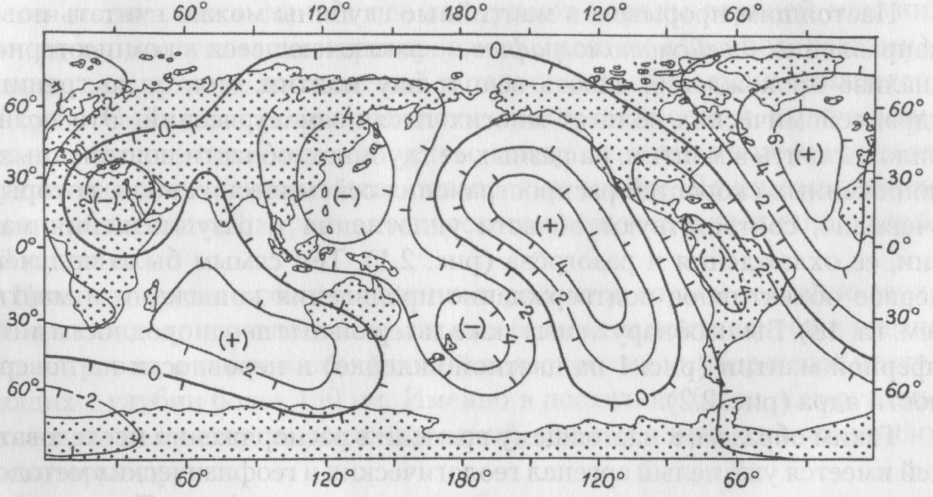
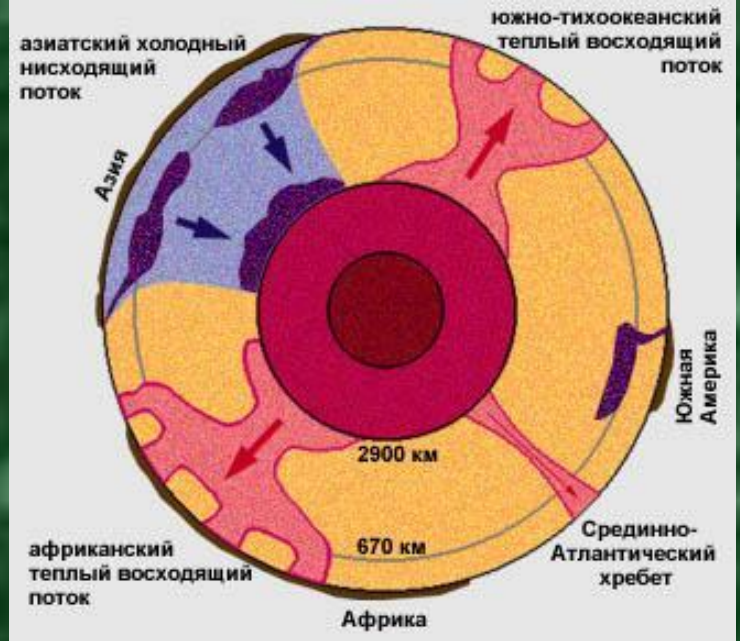
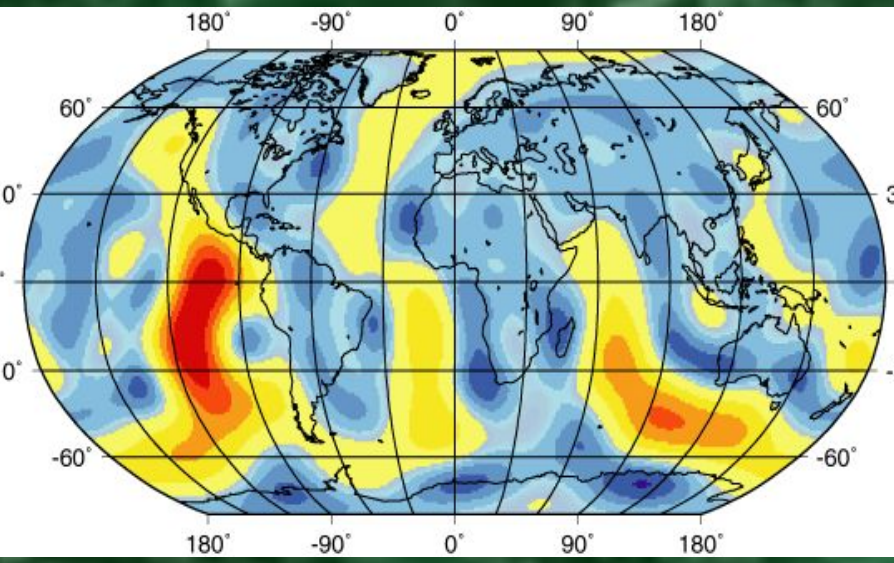


Рис. 2.2. Рельеф поверхности ядра Земли, по данным сейсмической томографии (А. Морелли, А. Дзевонский, 1987).
Изолинии проведены через 2 км



<http://www.sciteclibrary.ru/ris-stat/st017/konvection.jpg>

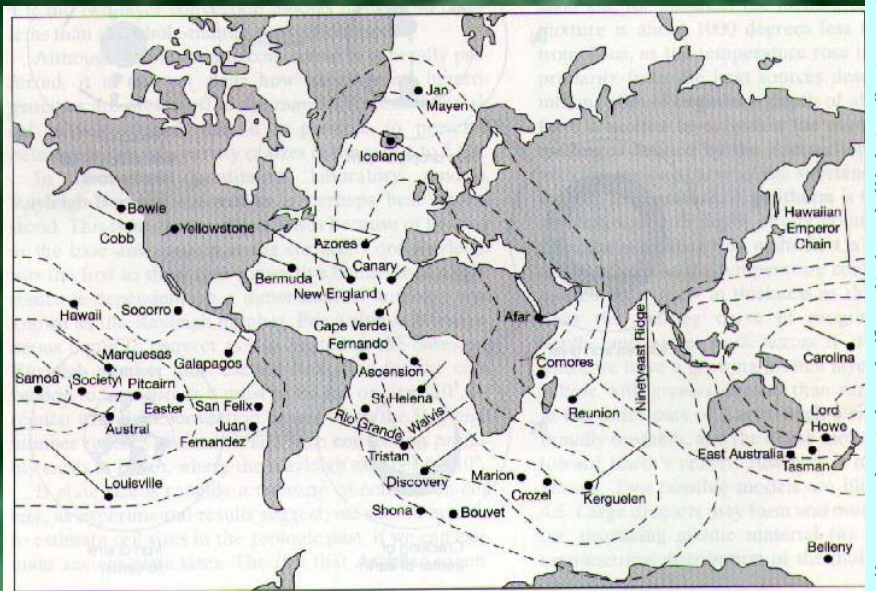
Рельеф поверхности ядра, [34]



Карта тепловых потоков

<http://eqseis.geosc.psu.edu/~cammon/HTML/Class/s/IntroQuakes/Notes/Images/specific/heatflow.gif>

Крупнейшие ап- и даунвеллинги



Проекция на поверхность апвеллингов

http://www.calstatela.edu/faculty/acovill/plates/hot_spots.jpg

Рис. 2.61. Сопоставление неровностей поверхности ядра с положением крупнейших мантийных ап- и даунвеллингов, и современных приповерхностных тепловых потоков

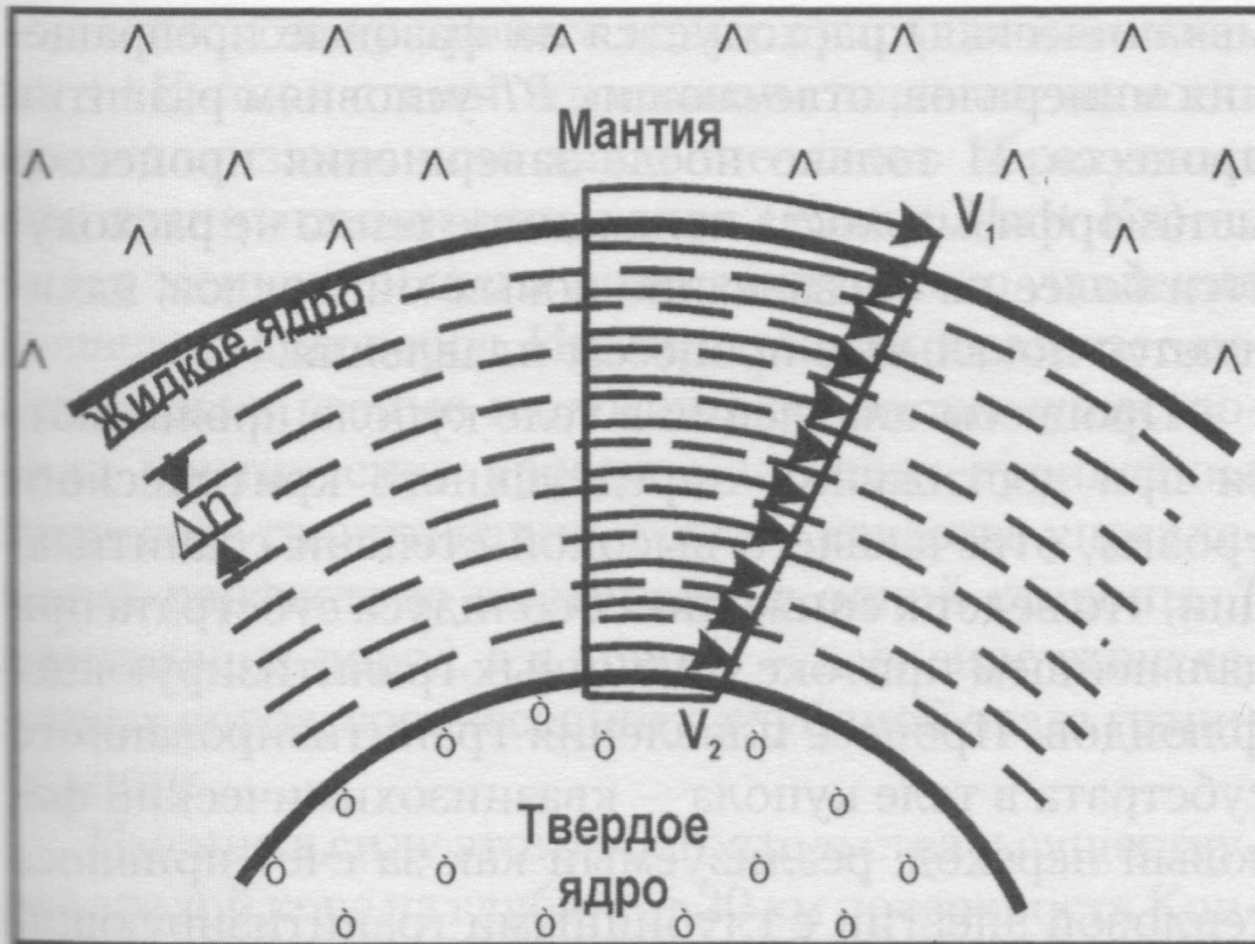


Схема генерации теплоты трения между слоями с различной вязкостью в жидком ядре Земли.

Рис. 2.64. Схема возможного разноскоростного перемещения вещества внешнего ядра, сопровождающаяся выделением теплоты трения, [18, С.137]